

I-151 CROSS-DIAGONAL を有する TRUSS によつて  
補強された平板の曲げについて

北海道大学 正員 能町純雄  
室蘭工業大学 正員 松田慶一  
室蘭工業大学 学生員 ○坂元伸樹

1. まえがき

先に、著者らは周辺単純支持の場合のワーレントラスによつて補強された平板についての理論式を導き、数値計算例を発表した。<sup>1)</sup>

本報告は、縦横に組合せられた CROSS-DIAGONAL を有するトラスによつて補強された平板について、周辺単純支持の場合について、その解析を試みていらる。解析に際して、板は曲げにぼくして抵抗しないものとし、構造を平面要素に分割し、各要素に変位せん断方程式<sup>2)</sup>を用い接合線に沿つてせん断力のつり合いを考え、変位で表わされた2階微分方程式を求める。又、トラスの節点でのつり合いはトラスの部材力と変位との関係式<sup>3)</sup>を用いて求めらる。

2. 基本式

図-1 のような構造について、せん断力のつり合いとトラスの部材力のつり合いを求める。

1). 要素のx方向のつり合いは

$$\frac{N_x}{\lambda_x} \Delta_y^2 U_{x,y} + \frac{N_y}{6\lambda_x} \Delta_x^2 U_{x,y} + \frac{Gt\lambda_x}{6\lambda_y} (\Delta_x^2 U_{x-1,y} + 6\Delta_y^2 U_{x,y}) + \frac{Gt}{4} A_x A_y U_{x,y} + K_3 \alpha_1 \beta_1 (\Delta_x^2 U_{x-1,y} + 2U_{x,y} - 2U_{x,y}) + K_4 \alpha_2 \beta_2 A_y W_{x,y}' = 0 \quad (1)$$

2). 要素のy方向のつり合いは

$$\frac{N_y}{\lambda_y} \Delta_y^2 U_{x,y} + \frac{N_x}{6\lambda_y} \Delta_x^2 U_{x,y} + \frac{Gt\lambda_y}{6\lambda_x} (\Delta_x^2 U_{x-1,y} + 6\Delta_y^2 U_{x,y}) + \frac{Gt}{4} A_x A_y U_{x,y} + K_4 \beta_2^2 (\Delta_y^2 U_{x,y} + 2U_{x,y} - 2U_{x,y}) + K_5 \alpha_2 \beta_2 A_y W_{x,y}' = 0 \quad (2)$$

3). 節点  $(x, y)$  の鉛直方向のつり合いは

$$K_3 \alpha_1 \beta_1 A_x U_{x,y}' + K_3 \alpha_1^2 \Delta_x^2 W_{x-1,y}' + K_4 \alpha_2 \beta_2 A_y U_{x,y} + K_4 \alpha_2^2 \Delta_y^2 W_{x,y-1}' + (2K_3 \alpha_1^2 + 2K_4 \alpha_2^2 + K_5) (W_{x,y}' - W_{x,y}) = -P_{x,y} \quad (3)$$

4). 節点  $(x, y')$  の鉛直方向のつり合いは

$$K_3 \alpha_1 \beta_1 A_x U_{x,y} - K_3 \alpha_1^2 \Delta_x^2 W_{x-1,y} + K_4 \alpha_2 \beta_2 A_y U_{x,y} - K_4 \alpha_2^2 \Delta_y^2 W_{x,y-1} + (2K_3 \alpha_1^2 + 2K_4 \alpha_2^2 + K_5) (W_{x,y}' - W_{x,y}) = 0 \quad (4)$$

5). 節点  $(x, y')$  のx方向に沿つて水平方向のつり合い

$$K_1 \Delta_x^2 U_{x-1,y} + K_3 \beta_1^2 \Delta_x^2 U_{x-1,y} + 2K_3 \beta_1^2 (U_{x,y} - U_{x,y}') - K_3 \alpha_1 \beta_1 A_x W_{x,y} = 0 \quad (5)$$

6). 節点  $(x, y')$  のy方向に沿つて水平方向のつり合い

$$K_2 \Delta_y^2 U_{x,y-1} + K_4 \beta_2^2 \Delta_y^2 U_{x,y-1} + 2K_4 \beta_2^2 (U_{x,y} - U_{x,y}') - K_4 \alpha_2 \beta_2 A_y W_{x,y} = 0 \quad (6)$$

$$== N_x = E t \lambda_x, \quad N_y = E t \lambda_y$$

$$K_1 = EA_{11}/\lambda_{11}, \quad K_2 = EA_{22}/\lambda_{22}, \quad K_3 = EA_{12}/\lambda_{12}, \quad K_4 = EA_{21}/\lambda_{21}, \quad K_5 = EA_{11}/\lambda_{11}$$

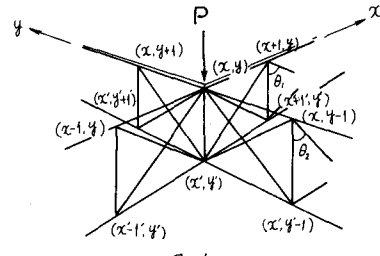


図-1

式(1)～(6)を $\bar{U}$ - $\bar{V}$ - $\bar{W}$ を和分変換して整理すると

$$\begin{aligned} & \left( -\frac{N_x}{\lambda_x} D_m + \frac{N_x}{6\lambda_x} D_m D_i - \frac{G t \lambda_x}{6\lambda_x} D_m D_i - \frac{G t \lambda_x}{\lambda_y} D_m D_i - 2K_3 \beta_1^2 \right) \bar{U} + (-K_3 \beta_1^2 D_m + 2K_3 \beta_1^2) \bar{U}^2 \\ & - G t \sin \frac{m\pi}{n} \sin \frac{\lambda_x \pi}{L} \bar{U} + 2K_3 \alpha_1 \beta_1 \sin \frac{m\pi}{n} \bar{W}^2 = 0 \end{aligned} \quad (7)$$

$$\begin{aligned} & \left( -\frac{N_y}{\lambda_y} D_i + \frac{N_y}{6\lambda_y} D_m D_i + \frac{G t \lambda_y}{6\lambda_x} D_m D_i - \frac{G t \lambda_y}{\lambda_x} D_m - 2K_4 \beta_2^2 \right) \bar{U} + (-K_4 \beta_2^2 D_i + 2K_4 \beta_2^2) \bar{U}^2 \\ & - G t \sin \frac{m\pi}{n} \sin \frac{\lambda_y \pi}{L} \bar{U} + 2K_4 \alpha_2 \beta_2 \sin \frac{\lambda_y \pi}{L} \bar{W}^2 = 0 \end{aligned} \quad (8)$$

$$\begin{aligned} & 2K_3 \alpha_1 \beta_1 \sin \frac{m\pi}{n} \bar{U}^2 + 2K_4 \alpha_2 \beta_2 \sin \frac{m\pi}{n} \bar{U}^2 - (2K_3 \alpha_1^2 + 2K_4 \alpha_2^2 + K_5 - K_3 \alpha_1^2 D_m - K_4 \alpha_2^2 D_i) \bar{W}^2 \\ & + (2K_3 \alpha_1^2 + 2K_4 \alpha_2^2 + K_5) \bar{W}^2 = \bar{P} \end{aligned} \quad (9)$$

$$(2K_3 \alpha_1^2 + 2K_4 \alpha_2^2 + K_5) \bar{W}^2 = 2K_3 \alpha_1 \beta_1 \sin \frac{m\pi}{n} \bar{U} + (2K_3 \alpha_1^2 + 2K_4 \alpha_2^2 + K_5 - K_3 \alpha_1^2 D_m - K_4 \alpha_2^2 D_i) \bar{W} \\ + 2K_4 \alpha_2 \beta_2 \sin \frac{m\pi}{n} \bar{U} \quad (10)$$

$$(K_5 D_m + 2K_3 \beta_1^2) \bar{U}^2 = -(K_3 \beta_1^2 D_m - 2K_4 \beta_2^2) \bar{U} - 2K_3 \alpha_1 \beta_1 \sin \frac{m\pi}{n} \bar{W} \quad (11)$$

$$(K_5 D_i + 2K_4 \beta_2^2) \bar{U}^2 = -(K_4 \beta_2^2 D_i - 2K_3 \beta_1^2) \bar{U} - 2K_4 \alpha_2 \beta_2 \sin \frac{m\pi}{n} \bar{W} \quad (12)$$

$$= 2. \bar{U} = R_m S_i [U_{x,y}], \bar{V} = S_m R_i [V_{x,y}], \bar{W} = S_m S_i [W_{x,y}], \bar{W}^2 = S_m S_i [W'_{x,y}], \bar{U}' = R_m S_i [U'_{x,y}], \bar{V}' = S_m R_i [V'_{x,y}],$$

$$\bar{P} = S_m S_i [P_{x,y}], D_m = 2(1 - \cos \frac{m\pi}{n}), D_i = 2(1 - \cos \frac{\lambda_i \pi}{L})$$

式(10)～(12)を $\bar{W}^2, \bar{U}', \bar{V}'$ と式(7)～(9)に入れ消去すると

$$\left. \begin{aligned} & a_{11} \bar{U} + a_{12} \bar{W} + a_{13} \bar{V} = 0 \\ & a_{21} \bar{U} + a_{22} \bar{W} + a_{23} \bar{V} = \bar{P} \\ & a_{31} \bar{U} + a_{32} \bar{W} + a_{33} \bar{V} = 0 \end{aligned} \right\} \quad (13)$$

④ L.  $a_{11} \sim a_{33}$ は式(7)～(9)は式(10)～(12)を $\bar{W}^2, \bar{U}', \bar{V}'$ を代入して整理して $U, W, V$ の係数で中身については省略する。

式(13)を解いて得られた $\bar{U}, \bar{W}, \bar{V}$ を式(10)～(12)に入れるすれば $\bar{U}^2, \bar{W}^2, \bar{V}^2$ が求まる。これより各点の変位が求まり、応力も得られる。

### 3. 教算計算例

以上の計算を次の図により、周辺単純支持の場合について計算した結果を示す。

$$E = 2.1 \times 10^6 \text{ kg/cm}^2, G = 8.1 \times 10^5 \text{ kg/cm}^2, \lambda_1 = \lambda_2 = 10 \text{ cm}, A_{11} = A_{12} = A_{21} = A_{22} = A_{31} = A_{32} = 2.5 \text{ cm}^2, t = 0.5 \text{ cm}, \theta_1 = \theta_2 = 45^\circ$$

$$P = 1000 \text{ kg}, n = 8, k = 8$$

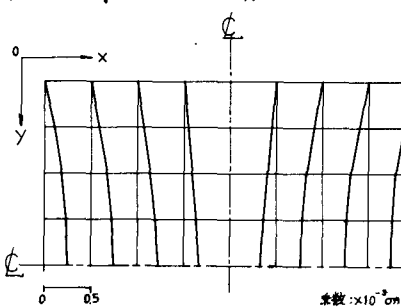


図-2  $U^0$

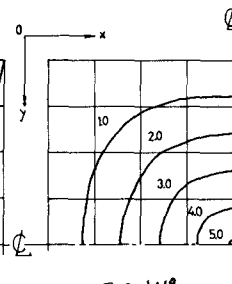


図-3  $W^0$

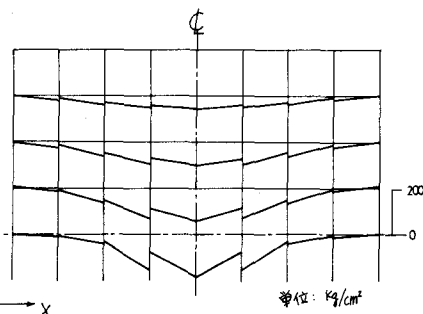


図-4  $G^0$

### 4. あとがき

以上、CROSS-DIAGONALを有するトラスによって補強された平板についての周辺単純支持の場合の理論式を導き、教算計算を示した。今後、他の支持条件、荷重条件について考慮を行なう予定である。計算には、北海道大学大型計算機センター FACOM 230-60 を使用した。

### 5. 参考文献

- 1) 鈴野・松岡・大島：トラストフレートの応力解析、土木学会北海道支部論文集 第29号 (1973)
- 2) 鈴野・松岡・大島：継横リブを有する板の応力解析、土木学会北海道支部論文集 第27号 (1971)
- 3) 鈴野：差分方程式で表わされる不規則構造物の力学的性質による解法例、土木学会北海道支部技術資料 第23号 (1974)